

九州大学 正員 沼田 實  
 " " 檜木 武  
 " 学生員 ○長藤敬晴

**1. 序言** 従来のバースト軌道は施設費が低廉で施工が容易であるなどの特徴を有する半面、多大な保守作業のため、労働力の確保や人件費の点で不利であり、また高速列車荷重下のバースト細粒化とされたによる噴泥現象などの構造的問題がある。このようバースト軌道の欠点を補うするものとして開発されたものがスラブ軌道である。スラブ軌道は、近代的な軌道構造としてすでに実用化されているが、高架上のスラブに比して、土路盤上のスラブは、沈下量も大きく、不同沈下の危険性も大きいと考えられるので、本論文においては、土路盤上のスラブ軌道の曲げ解析を行い、スラブの沈下性状や曲げモーメントについて検討するものである。

**2. 解法** 土路盤上の軌道スラブを、Winkler形バネ支承上の平板と考え、平板の解法として、9自由度三角形要素による有限要素法を用いた。レールを考える場合には、スラブ軌道を弹性バネ（タイパット、可変パット）によって連結された「はり」と「平板」との二重構造とみなす（図-1）。一つの要素について弹性ひずみエネルギーを求めれば次のとおりである。

・レールとスラブの二重構造と考える場合  $\Pi = \Pi_1 + \Pi_2 + \Pi_3 + \Pi_4$

・軌道スラブの単一構造と考える場合  $\Pi = \Pi_3 + \Pi_4$

ここに、 $\Pi_1$ ：レールの弾性エネルギー

$\Pi_2$ ：パットの弾性エネルギー（バネ定数  $k_p$ ）

$\Pi_3$ ：スラブ及び支持体の弾性エネルギー  $\Pi_4$ ：レール、スラブに直接作用する外力のポテンシャル

$$\Pi_1 = \frac{1}{2} q_p^T \cdot \frac{EI}{l^3} \begin{bmatrix} 12 & & & \\ & 4l^2 & & \\ -12 & -6l & 12 & \\ & 6l & 2l^2 - 6l & 4l^2 \end{bmatrix}$$

$$\Pi_2 = \frac{1}{2} W_1^T \begin{bmatrix} k_p & & & \\ & k_p & & \\ -k_p & k_p & & \\ 0 & 0 & k_p & \\ & & -k_p & k_p \end{bmatrix} \begin{bmatrix} U_1 \\ U_2 \\ W_2 \\ W_3 \end{bmatrix}$$

$$\Pi_3 = \frac{1}{2} q_p^T \cdot [K_1 + K_2] \cdot q_p \quad q_p^T = [W_1 \ \theta_{x1} \ \theta_{y1} \ W_2 \ \theta_{x2} \ \theta_{y2} \ W_3 \ \theta_{x3} \ \theta_{y3}]$$

$$\Pi_4 = -\frac{\bar{k}_p l}{12} \cdot [6 \ 2 \ 6 \ -l] \cdot q_p - \sum_{i=1}^3 k_p \cdot U_i \quad \Pi_4 = -2 S_n \bar{k}_p \left[ \frac{1}{2} \ \frac{1}{6} \ \frac{1}{6} \ \frac{1}{24} \ \frac{1}{24} \ \frac{1}{24} \ 0 \ 0 \ 0 \right]^T E q_p - \sum_{i=1}^3 k_p \cdot W_i$$

各要素について求めた弾性ひずみエネルギー  $\Pi$  を構造単位全体にわって総集すれば次のとおりである。

$$\bar{\Pi} = \frac{1}{2} \bar{q}_p^T \cdot \bar{K} \cdot \bar{q}_p - \bar{P}^T \cdot \bar{q}_p$$

この式に変分原理を適用し、構造全体の剛性方程式を求めれば次のようになる。

$$\bar{P} = \bar{K} \cdot \bar{q}_p$$

この方程式を構造全体の変位  $\bar{q}_p$  について解けば、本構造物が解けることになる。

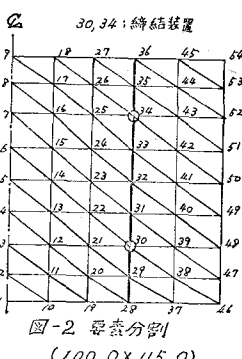
また、計算上の軌道スラブの要素分割および寸法は図-2に示すとおりである。

外力としては、まず輪重だけの場合について考えることにする。正常時の設計輪重  $P_{n1}$  は、最大輪重を 16t として、輪重変動について疲劳を考慮すると

$$P_n = (\text{車両重}) \times \frac{1}{2} \times (1 + 20) = 10.4 (\text{t})$$

のように与えられる。

**3. 計算結果および考察** 図-3.1, 図-3.2に示す構造形式および荷重状態について計算した。①は輪重が継結装置の中間にある時、スラブだけの単一構造を考



えた場合で、前後の綫結装置の位置に  $0.5P_n$  が載るとしたものである。②は輪重が綫結装置の直上にあるとき、文献③より「当該綫結装置に  $0.6P_n$ 、隣接綫結装置に  $0.2P_n$  の集中荷重が作用するものとする」という規定によったものである。③④は二重構造として、レール部に  $P_n$  が直接作用する状態を示している。

図-4はレール方向のスラブのたわみを示したものである。の③④の各場合についてスラブはほぼ完全剛体のような沈下を見せているが、これはスラブの剛性が極めて大きいことを示していると言えよう。のではわずかに載荷点のたわみが極大値をとっているが図の上では明らかでない。しかし曲げモーメント図(図-5)を見ればこのことが理解できる。③の場合、スラブ端部に浮き上がりが生じるが、その絶対量は、最大沈下の 25% 程度である。また地盤反力係数もスラブ軌道研究会の規定による最小値( $5.4 \text{ kN/cm}$ )を用いているので、実際の路盤における軌道スラブの沈下はより小さな値となるものと考えられ、不同沈下や走行時の不安定に対する危険性は小さいと思われる。図-5はレール方向のスラブの  $M_f$  図であるが、の③④の各場合とも両綫結装置の中間で負の値が出ているがその絶対値は正の最大値に比べて極めて小さく、 $①-25\%$ ,  $②-15\%$ ,  $③-12.5\%$  程度である。

②と③は、輪重が綫結装置上に載る状態について、スラブの単一構造とレールとスラブの二重構造との2つの考え方で解析したのであるが、かなり差異が見られる。たわみ、 $M_f$  の最大値はいずれも③の場合が大きく(表1)、 $M_f$  図の形状も多少異っている。これは②が進行荷重による影響とレールの押えによる効果を考慮した荷重条件であるに対し、③はスラブ相互の影響などを無視して算定したことによるものと思われる。

したがって、二重構造として計算する場合には、2つ以上のスラブを同時に解くか、あるいは、1つのスラブについてレール端部に適当な境界条件を与えて解くなどの方法によれば、より実際近くの値が得られるところを考えられる。最後に、数値計算にあたり、鉄道技術の種々の資料を参考したことと付記し謝意を表すものである。

#### 4. 参考文献

- ① マトリックス法の応用 山田嘉昭・東大公研会
- ② スラブ軌道の設計施工 日本鉄道学会
- ③ 鉄道技研報告 No.837. 北沢秀勝・鉄道技研
- ④ 直結軌道スラブの設計 西頭常彦・鉄道技研

#### 5. 使用記号

$l$ : レール要素の長さベクトル	$S_m$ : スラブ三角形要素の面積
$U_i$ : レール要素 $i$ 点のたわみ	$\theta_i$ : レール要素 $i$ 点のたわみ角
$m_i$ : 三角形要素の変位ベクトル	$m_i$ : スラブ三角形要素 $i$ 点のたわみ
$\eta_i$ : レール上の分布、集中荷重	$\eta_i$ : スラブ上の分布、集中荷重
$K_i$ : スラブ自体の剛性マトリクス	$K_{ij}$ : 土路盤の剛性マトリクス
$\bar{K}$ : 構造系全体の変位ベクトル	$E$ : 俈率マトリクスの逆マトリクス
	$\bar{P}$ : 構造系全体の荷重ベクトル

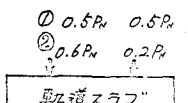


図 3.1 近接載荷

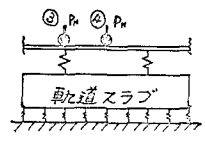


図 3.2 間接載荷

図-4 レール方向たわみ図

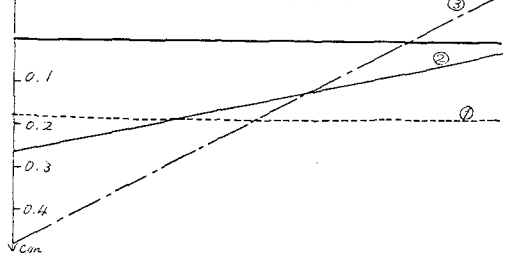


図 5 レール方向曲げモーメント ( $M_f$ ) 図

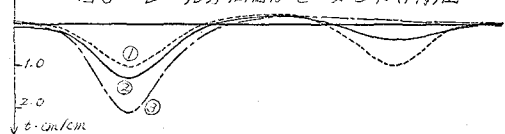


表-1. 最大値について

	直接載荷-②	節点	間接載荷-③	節点
たわみ (mm)	2.639	37	4.772	37
$M_f: 正 (+)$ (t·cm)	1.255	30	2.145	30
$M_f: 負 (-)$ (t·cm)	-0.177	1	-0.284	1
$M_f: 正 (+)$ (t·cm)	1.250	30	2.058	30
$M_f: 負 (-)$ (t·cm)	-0.693	1	-1.112	1

注: ②: レール要素の変位ベクトル  
③: 三角形要素の変位ベクトル  
 $m_i$ : レール要素  $i$  点のたわみ  
 $m_i$ : スラブ三角形要素  $i$  点のたわみ  
 $\eta_i$ : レール上の分布、集中荷重  
 $\eta_i$ : スラブ上の分布、集中荷重  
 $K_i$ : スラブ自体の剛性マトリクス  
 $K_{ij}$ : 土路盤の剛性マトリクス  
 $E$ : 俈率マトリクスの逆マトリクス  
 $\bar{P}$ : 構造系全体の荷重ベクトル